

**ОСОБЕННОСТИ ЭКСПЕРИМЕНТАЛЬНЫХ ИССЛЕДОВАНИЙ  
ВЫСОКОТЕМПЕРАТУРНОГО ТЕЧЕНИЯ ГАЗА  
НА УСТАНОВКАХ С ЭЛЕКТРОДУГОВЫМ ПОДОГРЕВАТЕЛЕМ**

**В. А. СЕПП**

(*Москва*)

В ряде технических приложений (высокотемпературные камеры сгорания, газовые реакторы, теплообменники, МГД генераторы) используются газодинамические потоки с температурами  $T \sim 3000^\circ\text{K}$ . Детальные экспериментальные исследования течений при таком уровне температур только начинаются. Важные результаты в этом направлении получены в [1-5].

Для изучения особенностей высокотемпературных течений необходимо проводить измерение профилей газодинамических параметров внутри экспериментальных моделей. Для этого прежде всего надо обладать методами измерения опытных газодинамических параметров при  $T \sim 3000^\circ\text{K}$ . Кроме того, так как в одном эксперименте обычно удается снять газодинамические профили только в одном сечении, необходимо исследовать вопрос о воспроизводимости экспериментальных условий в различных экспериментах. (Заметим, что в большинстве экспериментальных исследований, в которых изучалась основной (стабилизированный) участок течения, можно ограничиться измерением профилей на выходе из модели, где температура газа наименьшая.)

Ниже представлены результаты экспериментальных исследований высокотемпературных течений при использовании в качестве источника тепловой энергии электродугового подогревателя. Использовалась методика измерения газодинамических параметров при  $p \sim 1 \text{ atm}$ ,  $T \sim 3000^\circ\text{K}$ , разработанная в [6, 7]. Обоснована возможность проведения детальных экспериментальных исследований на установках с плазмотроном. Рассмотрено развитие течения в области перехода течения из зоны канала с охлажденными металлическими стенками в область канала с шероховатыми керамическими стенками.

1. Параметры плазмотрона в экспериментах были следующими: ток дуги  $I \sim 800 \text{ a}$ , напряжение  $V \sim 650 \text{ e}$ , давление в основной камере  $p \sim 1.4 \cdot 10^5 \text{ Pa}$ , расход воздуха через основную камеру  $G \sim 0.06 \text{ kg/sec}$ , через дополнительную камеру  $G_1 \sim 0.015 \text{ kg/sec}$ , тепловые потери во внутренний электрод  $Q_1 \sim 30 \text{ kдж/sec}$ , в наружный электрод  $Q_2 \sim 95 \text{ kдж/sec}$ , среднемассовые энталпия и температура торможения на выходе  $H^* \sim 5450 \text{ kдж/kg}$ ,  $T \sim 3400^\circ\text{K}$  соответственно, число  $M \sim 0.3$ , число  $Re \sim 2 \cdot 10^4$ .

Исследуемый канал состоял из охлаждаемой стальной трубы длиной  $l = 8 \text{ d}$  ( $d = 4 \text{ см}$  — диаметр), к которой пристыковывалась секционированная модель, имеющая теплозащиту из керамических колец. В каждой из 12 секций, длина которых равнялась внутреннему диаметру, имелось раздельное охлаждение, отверстие для замера статического давления и вывод термопары для замера температуры охлаждаемой поверхности керамики. Для уменьшения перетекания тепла по металлу между секциями ставились асбестовые прокладки. Одна из секций, имеющая отверстие для ввода в поток калориметрического зонда, в процессе работы устанавливалась в различных участках секционированной модели. Для устранения влияния стыков керамических колец модель собиралась на калиброванной оправке. За моделью устанавливалась труба длиной  $l = 15 \text{ d}$  с тепловой изоляцией для сглаживания возмущений. Температура поверхностей охлаждаемой трубы и теплоизолированных секций находились на уровне 300 и  $2000^\circ\text{K}$  соответственно. Керамика была изготовлена в ИВТ АН СССР [8].

В процессе эксперимента измерялись: расход газа  $G$ , среднемассовая энталпия  $H^*(x)$  (по тепловому балансу), распределение тепловых потоков  $q_w(x)$  в стенки канала, температура  $T(x)$  охлаждаемой поверхности керамических колец, распределение давления  $p(x)$  вдоль стенки канала и профили энталпии и давления торможения  $h^*(r)$  и  $p^*(r)$  в фиксированном сечении. (Здесь  $x$  и  $r$  — продольная и поперечная координаты.)

Температура  $T(x)$  соприкасающейся с газом поверхности керамических колец определялась по известным  $q_w(x)$  посредством решения уравнения теплопроводности для керамического кольца с учетом зависимости коэффициента теплопроводности от температуры.

Точность измерения  $h^*$  и  $p^*$  с помощью зондовой методики 4–6% [9]. По известным величинам  $p$ ,  $h^*$  и  $p^*$  с помощью таблиц термодинамических параметров воздуха [10] находились все остальные газодинамические параметры — плотность  $\rho$ , скорость  $u$ , энталпия  $h$ . При этом предполагалось, что статическое давление неизменно по сечению канала, а течение равновесное. (В условиях эксперимента отношение максимального релаксационного времени ко времени пребывания частицы газа в рабочей секции порядка  $10^{-4}$ .)

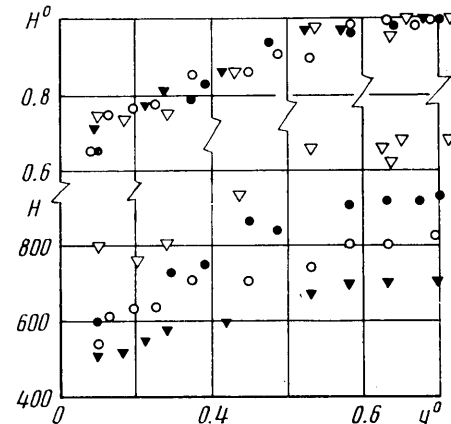
**2.** Проведение экспериментов с использованием электродугового подогревателя сопряжено с определенными методическими трудностями, обусловленными специфическим способом нагрева газа с помощью электрической дуги. Течение газа в рабочей секции оказывается, вообще говоря, нестационарным: в каждом запуске наблюдаются колебания температуры. Кроме того, в ряде случаев невозможно добиться хорошей воспроизводимости экспериментальных условий в различных запусках.

Колебания температуры потока в эксперименте связаны с колебаниями параметров дуги. Для подогревателей с газовой стабилизацией дуги частоты этих колебаний могут изменяться от нескольких гц до кгц. Однако снятие одной точки калориметрическим зондом проводилось за 30–60 сек, что позволяло фиксировать средние по времени значения  $h^*$  и  $p^*$ . Таким образом, эффект колебаний параметров дуги в фиксированном эксперименте не оказывает существенного влияния на измерение средних газодинамических параметров.

Гораздо сложнее вопрос о воспроизводимости экспериментальных условий. В наиболее неблагоприятных ситуациях параметры  $p_0^*$  и  $h_0^*$  на оси модели в различных экспериментах отличались на 10–15%. Поэтому профили  $h^*(x_1, r)$ ,  $p^*(x_1, r)$  и  $h^*(x_2, r)$ ,  $p(x_2, r)$  в сечениях  $x_1$  и  $x_2$ , которые снимались в различных запусках, вообще говоря, соответствовали различным экспериментальным условиям.

Однако, как будет показано в п. 3, для изучения газодинамической картины течения в канале достаточно ограничиться профилями не абсолютных, а относительных газодинамических параметров  $u^*(x, r) = u/u_0$ ,  $\rho^*(x, r) = \rho/\rho_0$ ,  $h^*(x, r) = h/h_0^*$ , где  $r = 2r/d$ , нулем отмечены параметры на оси канала, а градусом — безразмерные параметры, поэтому важно определить влияние измерения экспериментальных условий в различных запусках на относительные газодинамические профили в канале.

С этой целью было выбрано некоторое сечение ( $x/d=15$ ) вниз по потоку от анодного канала подогревателя, в котором снимались абсолютные и относительные профили параметров в разных экспериментах. Условия в этих экспериментах старались поддерживать одинаковыми (эксперименты одного и того же «класса»). Однако вследствие «неуправляемости» эксперимента (изменения положения электрической дуги, мощности на ней, расхода газа, давления в камере плазмотрона и т. д. при варьировании экспериментов) величина  $h_0^*$  в выбранном сечении менялась от эксперимента к эксперименту. Для дальнейшей обработки были взяты четыре эксперимента с наибольшим отличием один от другого.



Фиг. 1

При обработке экспериментальных результатов выбраны пять сечений:  $r^o=0.1, 0.25, 0.5, 0.68, 0.83$ . Полученные значения  $h_{ij}$  ( $i=1, 2, 3, 4; j=1, 2, 3, 4, 5$ ,  $i$  — номер серии эксперимента,  $j$  — номер точки) при  $j=\text{const}$  можно рассматривать как случайные величины. Абсолютные профили величины  $H=h^*-h_w$  представлены на фиг. 1. (Энталпия газа на стенке  $h_w$  в экспериментах изменялась незначительно. Соответствующая температура  $T_w \sim 350^\circ$ .) Представленные данные указывают на большой разброс значений  $h^*$ . Например, на оси канала  $h_0^* = 800 \text{ кал/г} < h_{0i}^* < 1170 \text{ кал/г}$ .

Введем безразмерный профиль энталпии торможения по формуле (2.1)  $H^o = (h^* - h_w) / (h_0^* - h_w)$

и наряду с  $h_{0i}^*$  рассмотрим величины  $h_{ij}^o$ . Безразмерные профили энталпии торможения представлены на фиг. 1. Они характеризуются гораздо меньшим разбросом экспериментальных точек по сравнению с профилем  $H$ .

Определим дисперсию абсолютных и относительных профилей  $H$  и  $H^o$  энталпии торможения. Имеем

$$(2.2) \quad \begin{aligned} m_j &= \frac{1}{4} \sum_{i=1}^4 H_{ij}, \quad m_j^o = \frac{1}{4} \sum_{i=1}^4 H_{ij}^o, \quad S_j^2 = \frac{1}{3} \sum_{i=1}^4 (H_{ij} - m_j)^2, \\ S_j^{o2} &= \frac{1}{3} \sum_{i=1}^4 (H_{ij}^o - m_j^o)^2 \\ D_j &= \frac{S_j^2}{m_j^2}, \quad D_j^o = \frac{S_j^{o2}}{m_j^{o2}}, \quad S = \left( \frac{1}{5} \sum_{j=1}^5 D_j \right)^{1/2} \cdot 100\%, \\ S^o &= \left( \frac{1}{5} \sum_{j=1}^5 D_j^o \right)^{1/2} \cdot 100\% \end{aligned}$$

Здесь  $m_j$  и  $m_j^o$  — математические ожидания,  $S_j^2$  и  $S_j^{o2}$  — дисперсии,  $D_j$  и  $D_j^o$  — относительные дисперсии,  $S$  и  $S^o$  — суммарные среднеквадратичные отклонения  $H$  и  $H^o$  по всем экспериментальным точкам.

Результаты расчетов представлены ниже.

$j$	1	2	3	4	5
$m_j$	616	682	777	845	847
$S_j^2$	17300	11922	23576	27991	14013
$D_j$	0.046	0.026	0.039	0.039	0.048
$m_j^o$	0.687	0.761	0.870	0.946	0.985
$S_j^{o2}$	0.0035	0.0004	0.0013	0.0018	0.00008
$D_j^o$	0.0073	0.00065	0.0017	0.0020	0.00085

Отсюда следует, что  $S=18.2\%$ ,  $S^o=5\%$ , т. е.  $S^o < S$ . Следовательно, с погрешностью  $S^o \sim 5\%$  профили относительной энталпии остаются неизменными.

Для определения точности и надежности вычисления  $S^o$  проведем интервальную оценку. Найдем отличие дисперсии  $S^{o2}$  от дисперсии  $\sigma^{o2}$  всей генеральной совокупности  $H_{ij}^o$ . Для этого заметим, что величина  $\chi^2 = S^{o2} j(i-1) / \sigma^{o2}$  ( $j=5, i=4$ ) распределена по закону  $\chi^2$  с  $j(i-1)$  степенями свободы [11]. Для условия значимости  $\alpha=0.05$  двусторонняя критическая область имеет границы  $(\chi_k^2)_- = 7.26$ ,  $(\chi_k^2)_+ = 25$ .

Подставляя значения  $S^{\circ 2}=25$ ,  $i=4$ ,  $j=5$ , получим неравенство  $3.87 < \sigma^{\circ} < 7.2$ . В этом интервале с вероятностью 95% находится истинная дисперсия относительных профилей. Существенно, что ошибка зондовых измерений (6.5%) лежит внутри доверительного интервала.

Аналогичные экспериментально-статистические исследования были проведены для других сечений канала, в которых сопоставлялись профили абсолютных и относительных газодинамических параметров. Общий вывод следующий: с точностью  $S^{\circ} \leq 7\%$  относительные газодинамические профили инвариантны к случайному изменению экспериментальных условий в различных запусках. Это обстоятельство существенно расширяет область применения плазмотронов в исследованиях по высокотемпературной газовой динамике.

3. Покажем, что имеющийся набор экспериментальных данных достаточночен для определения всех газодинамических параметров течения в любом выбранном эксперименте. Напомним, что для каждого эксперимента известны распределения  $q_w(x)$ ,  $p(x)$ ,  $T_w(x)$  и газодинамические параметры на оси в каком-либо одном сечении (начальные данные). Кроме того, для этого же эксперимента известны поля  $\rho^{\circ}(x, r^{\circ})$ ,  $u^{\circ}(x, r^{\circ})$ ,  $h^{\circ}(x, r^{\circ})$ , которые были получены путем проведения целой серии экспериментов, но согласно п. 2 могут быть отнесены к каждому эксперименту серии.

Используем интегральные уравнения сохранения массы, импульса и энергии в круглой трубе радиуса  $R$  с непроницаемыми стенками

$$(3.1) \quad G = 2\pi R^2 \rho_0 u_0 \Pi_1$$

$$(3.2) \quad \frac{d}{dx} (2\pi R^2 \rho_0 u_0^2 \Pi_2 + \pi R^2 p) = -2\pi R \tau_w \quad (p=p(x))$$

$$(3.3) \quad \frac{d}{dx} (2\pi R^2 \rho_0 u_0 h_0 * \Pi_3) = -Q_w \quad (Q_w = 2\pi R q_w)$$

$$\Pi_1 = \int_0^1 \rho^{\circ} u^{\circ} r^{\circ} dr^{\circ}, \quad \Pi_2 = \int_0^1 \rho^{\circ} u^{\circ 2} r^{\circ} dr^{\circ}$$

$$\Pi_3 = \int_0^1 \rho^{\circ} u^{\circ} h^{\circ} r^{\circ} dr^{\circ}, \quad \rho^{\circ} = \frac{\rho}{\rho_0}, \quad u^{\circ} = \frac{u}{u_0}, \quad h^{\circ} = \frac{h^*}{h_0*}$$

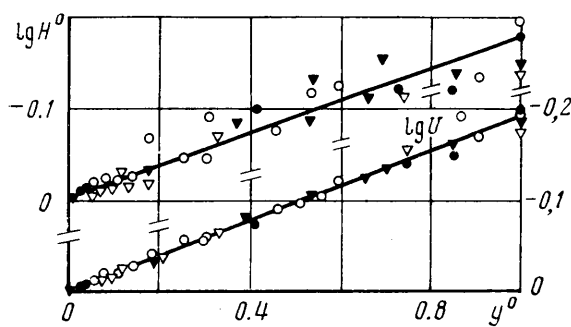
Величины  $\Pi_i = \Pi_i(x)$  ( $i=1, 2, 3$ ) известны: они вычисляются и находятся с помощью экспериментальных безразмерных профилей  $\rho^{\circ}$ ,  $u^{\circ}$ ,  $h^{\circ}$ . При заданных  $\Pi_i$  система уравнений (3.1)–(3.3) содержит пять неизвестных функций:  $q_w(x)$ ,  $\tau_w(x)$  и распределение каких-либо трех газодинамических параметров вдоль оси канала. Поэтому для замыкания этой системы необходимы два дополнительных соотношения. Такими соотношениями в данном случае являются экспериментальные распределения  $p(x)$  и  $q(x)$ . Из решения системы (3.1)–(3.3) находятся газодинамические параметры на оси канала (а, следовательно, с использованием известных безразмерных профилей и вся газодинамическая картина течения) и трение на стенке  $\tau_w$ . Коэффициенты трения и теплообмена  $c_f$  и  $c_h$  далее вычисляются по формулам

$$c_f = \frac{2\tau_w}{\rho_0 u_0^2}, \quad c_h = \frac{q_w}{\rho_0 u_0 (h_0* - h_w)}$$

Подчеркнем, что измерение газодинамических профилей внутри канала позволяет с помощью дальнейшего решения системы уравнений (3.1)–(3.3) найти коэффициент трения  $c_f$ , в который входит величина  $\tau_w$ ,

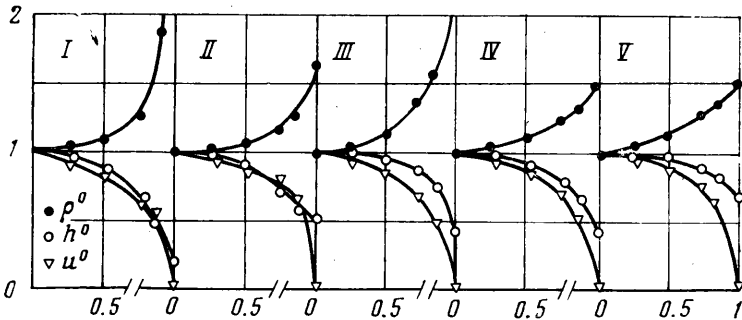
не измеряемая непосредственно в эксперименте. Ее прямое экспериментальное определение при высокотемпературном течении в канале в настоящее время вряд ли осуществимо. Ранее при исследовании высокотемпературных течений информацию о коэффициенте трения удавалось получить только для развитых течений с привлечением аналогии Рейнольдса [12]. Заметим также, что величина  $c_f$  в данной работе определяется с такой же точностью, с какой измеряется  $q_w(x)$ ,  $p(x)$  и профили газодинамических параметров.

4. В исследуемом турбулентном течении газа имеются четыре различных участка течения. На участке за электрической дугой длиной  $l=12-14d$  происходит развитие течения в канале при низком температурном факторе ( $T^o = T^*/T_0^* = -0.1$ ). Начальные профили характеризуются существенной неоднородностью, связанной с особенностями течения газа в анодном канале. Далее следует зона стабилизированного течения при  $T^o = -0.1$ . По определению в стабилизированном течении не изменяются безразмерные газодинамические профили, хотя абсолютные газодинамические параметры вследствие трения и теплообмена изменяются по длине канала. На следующем участке осуществляется переход из охлаждаемого канала в теплоизолированный канал с  $T^o \sim 0.7$ . Это своеобразный вторичный начальный участок



Фиг. 2

$=-0.1$ . Начальные профили характеризуются существенной неоднородностью, связанной с особенностями течения газа в анодном канале. Далее следует зона стабилизированного течения при  $T^o = -0.1$ . По определению в стабилизированном течении не изменяются безразмерные газодинамические профили, хотя абсолютные газодинамические параметры вследствие трения и теплообмена изменяются по длине канала. На следующем участке осуществляется переход из охлаждаемого канала в теплоизолированный канал с  $T^o \sim 0.7$ . Это своеобразный вторичный начальный участок



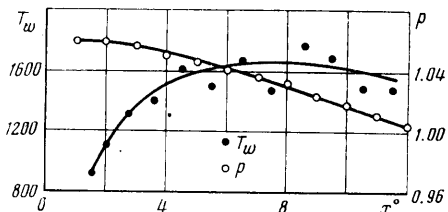
Фиг. 3

текущего, связанный с изменением температурных условий на стенках канала. Наконец, участок — вторичного стабилизированного течения в канале с шероховатыми стенками при  $T^o \sim 0.7$ .

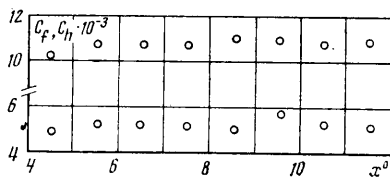
Течение на первых двух участках было изучено в [13]. Профили скорости и энталпии торможения на стабилизированном участке представлены на фиг. 2. Они описываются степенными зависимостями с показателем степени  $n \sim 5$ . Более низкое по сравнению с традиционной величиной  $n \sim 7$  значение показателя степени обусловлено частичной ламинизиацией течения вследствие охлаждения стенок.

Ниже представлены результаты исследования течения в области перехода из охлаждаемого в теплоизолированный канал. На фиг. 3 соответственно показаны деформация безразмерных газодинамических профилей, распределение тепловых потоков, температуры стенки и изменение давления по длине керамического канала. При анализе тепловых потоков в стенки и их температуры первая керамическая секция не рассматривалась, так как на ней не удалось исключить осевое перетекание тепла.

Из представленных графиков следует, что длина участка стабилизации, на котором происходит развитие течения в керамической трубе,



Фиг. 4



Фиг. 5

составляет пять калибров канала. При  $x/d=4$  на стабилизированном участке течения безразмерные газодинамические профили, температура стенки и тепловые потоки в керамические секции не изменяются.

Деформация профилей  $u^o$  и  $h^o$  на начальном участке состоит в увеличении их наполненности и наиболее сильно проявляется в пристеночной области  $0.5 < r^o < 1$ . Такую перестройку профилей можно связать с дополнительной турбулизацией течения на начальном участке, вызванной шероховатостью стенок и увеличением их температуры. Профиль плотности  $\rho^o$ , наоборот, становится менее наполненным. Расчеты (см. п. 3) показали, что количество движения по длине канала уменьшается. Это приводит к относительно малому падению давления на начальном участке (см. фиг. 4), ибо изменение количества движения в значительной мере компенсирует силу трения.

Течение на стабилизированном участке IV во многом зависит от шероховатости стенок. Одним из параметров в этом случае становится отношение  $R/k$ , где  $k$  — высота выступов. Режимом с полным проявлением шероховатости называют режим, в котором  $k$  больше толщины ламинарного подслоя. Оценим величину ламинарного подслоя в эксперименте. Из полуэмпирических соотношений [14]

$$\frac{\rho_l u_l \delta_l}{\mu_l} = \alpha^2, \quad \frac{u_l}{u_0} = \left( \frac{\alpha^2}{Re_R} \right)^{1/(n+1)}$$

где  $\rho_l$ ,  $u_l$ ,  $\delta_l$  — плотность, скорость, вязкость на границе ламинарного подслоя, а  $\alpha=12.5$  — константа, найдем, что  $\delta_l=0.2$  мм. Если  $k>\delta_l$ , то при слабом теплообмене и отсутствии сжимаемости газа (т. е. при условиях, приближенно выполняющихся на стабилизированном участке течения в теплоизолированном канале) справедлива следующая формула для коэффициента трения:

$$(4.1) \quad 4c_f = \left( 2 \lg \frac{R}{k} + 1.74 \right)^{-2}$$

Зная экспериментальное значение  $c_f$ , с помощью (4.1) можно определить характеристику шероховатости  $k$  и сравнить с паспортной характеристикой керамики. Экспериментальная величина  $k=0.65$  мм, паспорт-

ная —  $k=0.67$  мм. Удовлетворительное совпадение расчетной и экспериментальной величины  $k$  показывает, что формулой (4.1) можно пользоваться для расчета высокотемпературных течений в каналах с шероховатыми теплоизолированными стенками.

Экспериментальные величины  $c_f$  и  $c_h$  приведены на фиг. 5, которая показывает, что для рассмотренного течения достаточно хорошо выполняется аналогия Рейнольдса.

Поступила 9 II 1976

#### ЛИТЕРАТУРА

1. Белянин Н. М. Экспериментальное исследование трения и теплообмена при течении газа в трубе. ПМТФ, 1964, № 4.
2. Амбрязовичус А. Б., Жукаваскас А. А. Валаткявичус П. Ю. Исследование влияния температурного фактора на теплообмен при турбулентном течении газа в трубе. В сб. «Тепло- и массоперенос», т. 1. Минск, 1972.
3. Леонтьев А. И., Миронов Б. П., Фаурич А. В. Турбулентный пограничный слой диссоциированного газа в начальном участке трубы. ПМТФ, 1967, № 1.
4. Леонтьев А. И., Миронов Б. П., Фаурич А. В. Длина начального участка при турбулентном течении газа в цилиндрической трубе в условиях существенной неизотермичности. ПМТФ, 1968, № 4.
5. Петухов Б. С., Кириллов В. В., Цзюй Цзы-сян, Майданик В. И. Экспериментальное исследование влияния температурного фактора на теплообмен при турбулентном течении газа в трубах. Теплофизика высоких температур, 1965, т. 3, № 1.
6. Грей. Исследование чувствительности калориметрического зонда. Приборы для научных исследований, 1963, № 8.
7. Петров М. Д., Сенн В. А. Исследование малогабаритного зонда для определения профилей температуры и полного давления в плотном плазменном потоке. Теплофизика высоких температур, 1970, т. 8, № 4.
8. Высоцкий Д. А., Петров М. Д., Реков А. И., Романов А. И., Сенн В. А., Серебренникова В. Е., Смирнова Л. Г., Куртепова О. И. Результаты испытаний изоляционных и электродных материалов в плазменной струе. Теплофизика высоких температур, 1972, т. 10, № 3.
9. Петров М. Д., Сенн В. А. Двухслойный калориметрический зонд для измерения температуры и полного давления в потоках высокой температуры. Измерительная техника, 1972, № 4.
10. Предводителев А. С., Ступченко Е. В., Самуилов Е. В., Стаканов И. П., Плещанов А. С., Рождественский И. Б. Таблицы термодинамических функций воздуха. М., Изд-во АН СССР, 1957.
11. Смирнов Н. В., Дунин-Борковский И. В. Краткий курс математической статистики для технических приложений. М., Физматгиз, 1959.
12. Зысина-Моложен Л. М., Петухов Л. С., Шапиро И. Г. Исследование структуры турбулентного пограничного слоя в высокотемпературном газе. В сб. «Теплообмен в высокотемпературном потоке газа». Вильнюс, «Минтис», 1972.
13. Петров М. Д., Сенн В. А. Экспериментальное исследование развития течения в канале за электрической дугой. Теплофизика высоких температур, 1975, т. 13, № 5.
14. Абрамович Г. П. Прикладная газовая динамика. М., «Наука», 1969.